

Instytut Mikrobiologii i Biochemii UMCS  
Zakład Biochemii

Jerzy ŁOBARZEWSKI

### Oczyszczanie peroksydazy z mycelium grzyba *Inonotus radiatus*

Очищение пероксидазы от *mycelium* гриба *Inonotus radiatus*

The Purification of Peroxidase from the Mycelium of the *Inonotus radiatus* Fungus

#### WSTĘP

Peroksydaza występująca u grzybów rosnących na drzewach bierze udział w procesie rozkładu ligniny (5, 6, 7, 14, 20). Badania Ishikawy i współprac. (8, 9, 10, 11) nad peroksydazą grzybową dotyczą głównie udziału tego enzymu w rozkładzie modelowych monomerów lub dimerów ligniny.

Metodę izolacji peroksydazy z filtratu po hodowli grzyba *Inonotus radiatus* na sefadeksie G-100 podano we wcześniejszej pracy (16). Właściwości enzymu peroksydazy grzybowej są jeszcze mało poznane.

Przedmiotem niniejszej pracy jest opracowanie kilku nowych metod oczyszczania chromatograficznego peroksydazy z mycelium grzyba *Inonotus radiatus*.

#### METODY

Materiałem do badań było mycelium *Inonotus radiatus* (Sow. Ex. Fr. P. Karst H.M.I.P.C. nr 4335) hodowane na 3% brzeczce piwnej z dodatkiem 2% mączki z drewna bukowego w temp. 25° przez 3 tygodnie. Wstępnie homogenizowane mycelium zamrażano 10-krotnie w temp. -70° i rozmrażano. W trakcie tych operacji mycelium homogenizowano 2-krotnie. Homogenat odwirowano przy 10 000 × g przez 15 min. w chłodzie. Nadsącz używano do dalszej preparatyki peroksydazy. Aktywność peroksydazy wyliczano z różnicy pomiędzy zmianą absorpcji przy 480 nm, utlenionej enzymatycznie p-fenylendwuaminy z dodatkiem H<sub>2</sub>O<sub>2</sub> i bez dodatku H<sub>2</sub>O<sub>2</sub> według metody Auranda i współprac. (1). Zawartość białka w preparatach enzymatycznych oznaczano metodą Lowry i współprac. (15), a fosforany —

metodą Fiskego i Subbrowa (4). Elektroforezę na żelu poliakrylamidowym przeprowadzano według metody Daviesa (3). Położenie pasm enzymatycznych na elektroferogramach poznawano przy pomocy reakcji z  $H_2O_2$  i benzydynam. Używano 0,02% roztwór benzydiny w 0,1 M buforze octanowym o  $pH = 5,6$  i 0,3 M  $H_2O_2$ , zmieszane w stosunku 4:1 obj. Bruszyt ( $CaHPO_4$ ) i hydroksyloapatyt ( $Ca_3(PO_4)_2OH$ ) otrzymywano według metody Tiseliusa i współprac. (19).

## WYNIKI

Peroxydazę izolowano wstępnie z ekstraktu z mycelium przy pomocy siarczanu amonu. Przy pierwszym strąceniu zastosowano 70% nasycenie  $(NH_4)_2SO_4$  ekstraktu z grzybni. Po wytrąceniu osadu preparat wirowano przez 15 min. przy  $10\ 000 \times g$  w chłodzie. Nadsącz odrzucano, a osad rozpuszczano w niewielkiej objętości buforu fosforanowego 0,005 M,  $pH$  7. W ten sposób zmniejszono objętość preparatu 3-krotnie. Następnie ponownie wysalano białko w preparacie grzybowym przy 100% nasyceniu siarczanem amonu. Wytrącony osad wirowano przez 15 min. przy  $10\ 000 \times g$  w chłodzie. Osad rozpuszczano w buforze fosforanowym 0,005 M,

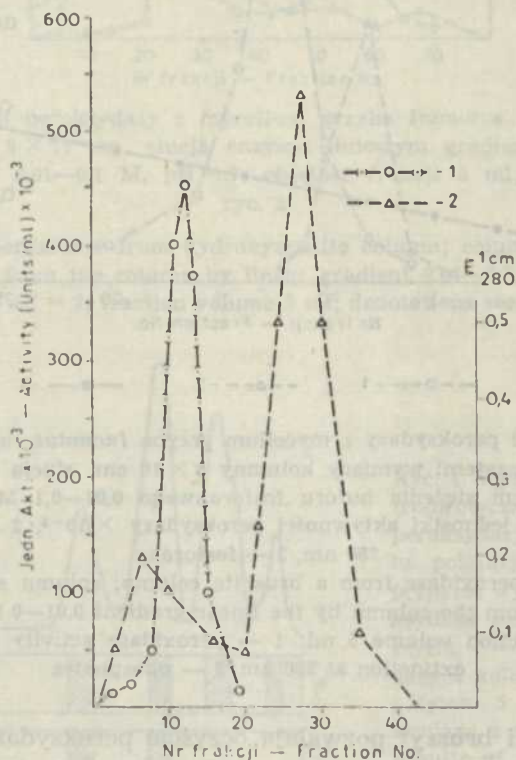
Tab. 1. Wstępne oczyszczanie peroxydazy z mycelium *Inonotus radiatus*  
Purification of peroxidase from the mycelium of *Inonotus radiatus* fungus

Nazwa preparatu Name of preparation	Objętość Volume ml	Suma jednostek aktywno- ści pero- ksydazy Sum of peroxidase units	Jednostki aktywno- ści spe- cyficznej Peroxidase specific units	Białko Protein mg/ml	Wielo- krotność oczysz- czenia Purifica- tion step
Homogenat Homogenate	450	67,5	0,68	0,22	—
Po wysoleniu 70% $(NH_4)_2SO_4$ 70% saturation with $(NH_4)_2SO_4$	150	29,25	1,60	0,12	2,3
Po wysoleniu 100% $(NH_4)_2SO_4$ 100% saturation with $(NH_4)_2SO_4$	45	11,70	2,00	0,13	3,0
Po ogrzaniu temp. 50°C, czas — 15 min. Heating (temp. 50°C, time 15 min.)	45	10,00	2,00	0,13	3,0

pH 7, a supernatant odrzucano. Rozpuszczony osad dializowano przez 24 godz. wobec buforu fosforanowego 0,005 M, pH 7. Otrzymany preparat peroksydazy ogrzewano w temp. 50° przez 15 min. w celu inaktywacji termicznej innych oksydaz (tab. 1).

Ten roztwór peroksydazy służył dalej do preparatywnego oczyszczania enzymu na kolumnach z Biogelu P, bruszytu i hydroksyapatytu

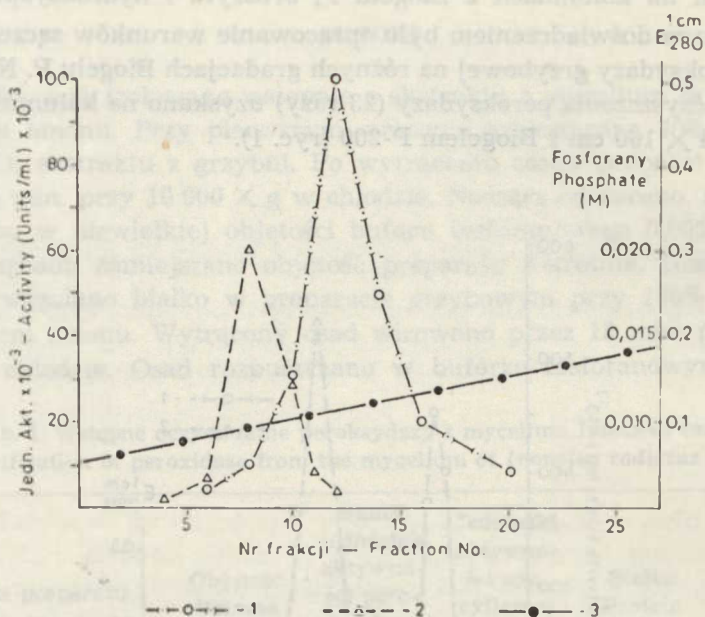
Pierwszym doświadczeniem było opracowanie warunków sączenia preparatu peroksydazy grzybowej na różnych gradacjach Biogelu P. Najlepsze rezultaty oczyszczenia peroksydazy (23 razy) uzyskano na kolumnie o wymiarach  $1,4 \times 100$  cm z Biogelem P-200 (ryc. 1).



Ryc. 1. Profil elucji peroksydazy z mycelium grzyba *Inonotus radiatus* na kolumnie z Biogelem P-200; wymiary kolumny  $1,4 \times 100$  cm; elucja buforem fosforanowym 0,005 M, pH = 7; objętość frakcji 5 ml; 1 — jednostki aktywności peroksydazy  $\times 10^{-3}$ , 2 — ekstynkacja przy 280 nm

Elution profile of peroxidase from Biogel P-200 column; column size  $1.4 \times 100$  cm; elution system: 0.005 M phosphate; fraction volume 5 ml; 1 — peroxidase activity units  $\times 10^{-3}$ , 2 — extinction at 280 nm

Następnie przeprowadzono próby oczyszczania peroksydazy grzybowej na bruszytcie ( $\text{CaHPO}_4$ ). Używano kolumny o wymiarach  $3 \times 12$  cm. Stosując gradient liniowy stężenia buforu fosforanowego o  $\text{pH}$  5 uzyskano 20-krotne oczyszczenie peroksydazy (ryc. 2).

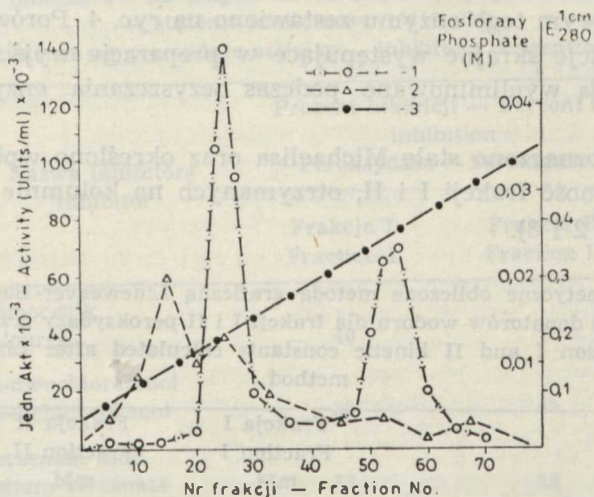


Ryc. 2. Profil elucji peroksydazy z mycelium grzyba *Inonotus radiatus* oczyszczonej na kolumnie z bruszytem; wymiary kolumny  $3 \times 10$  cm; elucja enzymu z kolumny gradientem liniowym stężenia buforu fosforanowego 0,01–0,1 M,  $\text{pH}$  = 5; objętość frakcji 5 ml; 1 — jednostki aktywności peroksydazy  $\times 10^{-3}$ , 2 — ekstynkcja przy 280 nm, 3 — fosforany

Elution profile of peroxidase from a brushite column; column size  $3 \times 10$  cm; enzyme was eluted from the column by the linear gradient 0.01–0.1 M of a phosphate buffer  $\text{pH}$  = 5; fraction volume 5 ml; 1 — peroxidase activity units  $\times 10^{-3}$ , 2 — extinction at 280 nm, 3 — phosphates

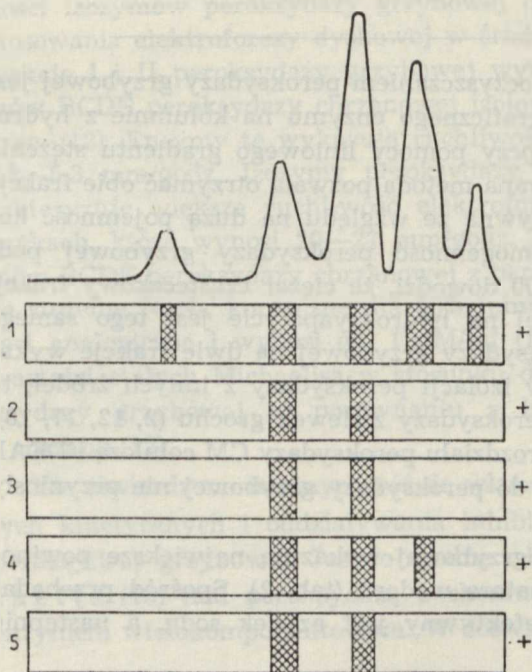
Biogel P-200 i bruszyt pozwalają oczyścić peroksydazę ok. 20-krotnie bez podziału na frakcje. Dopiero zastosowanie hydroksyapatytu doprowadziło do rozdzielania badanego preparatu peroksydazy na dwie frakcje. Kolumna z hydroksyapatytu miała wymiary  $3 \times 11$  cm. Zastosowano gradient liniowy stężenia buforu fosforanowego o  $\text{pH}$  7 (ryc. 3). Aktywność frakcji I peroksydazy wzrasta 11-krotnie, a frakcji II — 88-krotnie.

Porównanie właściwości elektroforetycznych oczyszczonych na Biogelu P-200, bruszytcie i hydroksyapatycie preparatów peroksydazy z prepa-



Ryc. 3. Profil elucji peroksydazy z mycelium grzyba *Inonotus radiatus*; kolumna z hydroksyapatytu  $3 \times 11$  cm; elucja enzymu liniowym gradientem stężenia buforu fosforanowego 0,01—0,1 M,  $pH = 7$ ; objętość frakcji 5 ml; oznaczenia patrz ryc. 2

Elution profile of peroxidase from hydroxyapatite column; column size  $3 \times 11$  cm; enzyme was eluted from the column by linear gradient 0.01—0.1 M of a phosphate buffer;  $pH = 7$ ; fraction volume 5 ml; denotations see Fig. 2



Ryc. 4. Wyniki rozdzielania elektroforetycznego preparatów peroksydazy grzybowej na żelu poliakrylamidowym; 1 — preparat wyjściowy, 2 — peroksydaza oczyszczona na bruszcycie, 4 — frakcja I peroksydazy z kolumny z hydroksyapatytem, 5 — frakcja II peroksydazy z tej samej kolumny. Results of the electrophoretic separation of fungal peroxidase on polyacrylamide gel; 1 — initial preparation, 2 — peroxidase purified on Biogel P-200, 3 — peroxidase purified on brushite, 4 — peroxidase fraction I from hydroxyapatite column, 5 — peroxidase fraction II from the same column

ratem wyjściowym tego enzymu zestawiono na ryc. 4. Porównanie to dowodzi, że frakcje skrajne występujące w preparacie wyjściowym peroksydazy zostają wyeliminowane podczas oczyszczania enzymu na kolumnach.

Następnie oznaczono stałe Michaelisa oraz określono wpływ inhibitorów na aktywność frakcji I i II, otrzymanych na kolumnie z hydroksyapatytem (tab. 2 i 3).

Tab. 2. Stałe kinetyczne obliczone metodą graficzną Lineweaver-Burk w stosunku do  $H_2O_2$  i donatorów wodoru dla frakcji I i II peroksydazy grzybowej  
Peroxidase fraction I and II kinetic constants calculated after Lineweaver-Burk method

	Frakcja I Fraction I mM	Frakcja II Fraction II mM
p-fenylenodwuamina p-phenylenediamine	24	16
Gwajakol Guaiacol	46	38
Pirogalol Pirogallol	5	4
Nadtlenek wodoru $H_2O_2$	6	3,2

Nowością w badaniach nad oczyszczaniem peroksydazy grzybowej jest możliwość rozdzielenia chromatograficznego enzymu na kolumnie z hydroksyapatytem na dwie frakcje przy pomocy liniowego gradientu stężenia buforu fosforanowego. Opracowana metoda pozwala otrzymać obie frakcje peroksydazy na skalę preparatywną ze względu na dużą pojemność kolumny z hydroksyapatytu. Homogenność peroksydazy grzybowej podczas sączenia przez Biogel P-200 dowodzi, że ciężar cząsteczkowy frakcji I i II peroksydazy rozdzielonej na hydroksyapatycie jest tego samego rzędu. Uzyskany rozdział peroksydazy grzybowej na dwie frakcje wykazuje podobieństwo do wyników izolacji peroksydazy z innych źródeł, to jest peroksydazy z chrzanu i peroksydazy z siewek grochu (2, 12, 17, 18). Cytowani autorzy stosowali do rozdzielenia peroksydazy CM celulozę i DEAE celulozę, które w zastosowaniu do peroksydazy grzybowej nie przyniosły rezultatów.

Frakcje I i II peroksydazy grzybowej wykazują największe powinowactwo do pirogalolu jako donatora wodoru (tab. 2). Spośród przebadanych inhibitorów najbardziej efektywny jest azydek sodu, a następnie tiomocznik i DIECA (tab. 3).

Tab. 3. Wpływ inhibitorów na aktywność peroksydazy grzybowej we frakcji I i II,  
— stężenie inhibitorów  $1 \times 10^{-3} M$   
Inhibitors influence on peroxidase activity — inhibitors concentration  $1 \times 10^{-3} M$

Nazwa inhibitora Inhibitor	Procent inhibicji — Percent of inhibition	
	Peroksydaza — Peroxidase	
	Frakcja I Fraction I	Frakcja II Fraction II
Tiomocznik Thiourea	40	42
2,4-dwuchlorofenol 2,4-dichlorophenol	38	45
Wersenian sodu Sodium versenate	17	22
DIECA Diethyldithio-sodium carbaminat	48	30
$NaN_3$	60	78

Peroksydaza grzybowa (frakcja I i frakcja II) ma ładunek ujemny w środowisku alkalicznym elektroforezy dyskowej. Nie stwierdzono obecności izozymów peroksydazy grzybowej o ładunku dodatnim mimo zastosowania elektroforezy dyskowej w środowisku kwaśnym. Tym samym frakcje I i II peroksydazy grzybowej wykazują podobieństwo do izozymów BCDE peroksydazy chrzanowej izolowanych przez Kaya i współprac. (12). Enzymy te wykazują ruchliwość elektroforetyczną w zakresie 2,8—5,3 mm/godz. Izozymy peroksydazy grzybowej frakcji I i II charakteryzuje większa ruchliwość elektroforetyczna w analogicznych warunkach, która wynosi 20—27 mm/godz. Porównując właściwości izozymów BCDE peroksydazy chrzanowej z peroksydazą grzybową okazuje się, że stężenie  $NaN_3$ , konieczne dla 50% inhibicji peroksydazy z obu źródeł, jest analogiczne i wynosi ok.  $1 \mu M/ml$  (12). Uzyskano również zbliżone wartości stałych Michaelisa w stosunku do  $H_2O_2$  dla frakcji I i II peroksydazy grzybowej w porównaniu z izozymami BCDE peroksydazy z chrzanu (12).

Nie stwierdzono istotnych różnic właściwości elektroforetycznych, stałych kinetycznych i oddziaływania inhibitorów pomiędzy frakcją I i II peroksydazy grzybowej. Jest to zgodne z badaniami Klappera i Hacketta (13) nad peroksydazą z chrzanu. Peroksydaza z chrzanu jest enzymem wielokomponentowym. W doświadczeniach Klappera i Hacketta

oczyszczono główne składniki handlowej peroksydazy chrzanowej. Porównanie właściwości spektralnych, aktywności, ciężaru cząsteczkowego i składu aminokwasowego poszczególnych frakcji peroksydazy z chrzanu nie wykazało istotnych różnic pomiędzy własnościami poszczególnych frakcji, analogicznie do wyników opisanych w niniejszej pracy.

#### PIŚMIENNICTWO

1. Aurand L. W., Roberts W. M., Cardwel J. T.: Peroxidase. [w:] Methoden der Enzymatischen Analyse. Bergmeyer H.U. ed. Verlag Chemie G.M.B.H. Weinheim 1962, 895—897.
2. Chmielnicka J.: Elektroforetyczne i chromatograficzne rozdzielanie peroksydazy chrzanu. Acta Pol. Pharm. **21**, 395—400 (1964).
3. Davies B. J.: Disc Electrophoresis. II. Method and Application to Human Serum Proteins. Ann. Acad. Sci. **121**, 404—427 (1964).
4. Fiske C. H., SubbaRow Y.: Method of Fiske and SubbaRow. [w:] Methods in Enzymology. Colowick S.P., Kaplan N.O. ed. Academic Press, 3 New York 1957, 843—844.
5. Flaig W., Haider K.: Die Verwertung Phenolischer Verbindungen durch Weissfäulepilze. Arch. Mikrobiol. **40**, 212—223 (1961).
6. Haider K.: Untersuchungen über den mikrobiellen Abbau von Lignin. Zbl. Bakt. I. Abt. Orig. **198**, 308—316 (1965).
7. Haider K., Lim S. U., Flaig W.: Experimente und Theorien über den Ligninabbau bei der Weissfaule des Holzes und bei der Verrottung pflanzlicher Substanz im Boden. Holzforsch. **18**, 81—88 (1964).
8. Ishikawa H., Oki T.: The Oxidative Decomposition of Lignin. J. Japan Wood Res. Soc. **10**, 207—211 (1964).
9. Ishikawa H., Schubert W. J., Nord F. F.: Investigations on Lignins and Lignification. XXVII. The Enzyme Degradation of Softwood Lignin. Arch. Biochem. **100**, 131—139 (1963).
10. Ishikawa H., Schubert W. J., Nord F. F.: XXVIII. The Degradation by *Polyporus Versicolor* and *Fomes Fomentarius* of Aromatic Compounds Structurally Related to Soft Wood Lignin. Arch. Biochem. **100**, 140—149 (1963).
11. Ishikawa H., Schubert W. J., Nord F. F.: XXX. Enzymic Degradation of Guajacylglycerol and Related Compounds by White-rot Fungi. Biochem. Z. **338**, 153—163 (1963).
12. Kay E., Shannon L. M., Lew J. Y.: Peroxidase Isozymes from Horseradish Roots. II. Catalytic Properties. J. Biol. Chem. **242**, 2470—2473 (1967).
13. Klapper M. H., Hackett D. P.: Investigations on the Multiple Components of Commercial Horseradish Peroxidase. Biochem. Biophys. Acta. **96**, 272—282 (1965).
14. Leonowicz A., Trojanowski J.: Egzoenzymes in Fungi Degrading Lignin. I. *Pholiota mutabilis*. Acta Microbiol. Polon. **14**, 55—61 (1965).
15. Lowry O. H., Rosebrough N. S., Farr A. L., Randall R. J.: Protein Measurement with the Folin-Phenol Reagent. J. Biol. Chem. **193**, 265—275 (1951).
16. Łobarzewski J.: Isolation of Peroxidase from *Inonotus radiatus* Fungus. Ann. Univ. Mariae Curie-Skłodowska, sectio C, **26**, 35—43 (1971).



17. Sano H.: Studies on Peroxidase Isolated from Etiolated *Alaska pea* Seedlings. I. General Properties. *Plant and Cell. Physiol.* **11**, 747—756 (1970).
18. Shannon L. M., Kay E., Lew J. Y.: Peroxidase Isozymes from Horseradish Roots. I. Isolation and Physical Properties. *J. Biol. Chem.* **241**, 2166—2172 (1966).
19. Tiselius A., Hjerten S., Levin Ö.: Column Chromatography of Proteins: Calcium Phosphate. [w:] *Methods in Enzymology*. Colowick S.P., Kaplan N.O. ed. Academic Press, 5, New York 1962, 27—28.
20. Trojanowski J.: Biological Degradation of Lignin. *Int. Biodetn. Bull.* **5**, 119—124 (1969).

### РЕЗЮМЕ

Были установлены оптимальные условия хроматографического очищения пероксидазы от *mycelium* гриба *Inonotus radiatus* пользуясь Biogel P-200, брушитом и гидроксилapatитом. На колонне гидроксилapatита получили раздел пероксидазы на две фракции. Фракции I и II грибной пероксидазы показывают самое большое сходство с пирогаллом. Активность фракций I и II грибной пероксидазы торможена более всего азидом натрия, тиомочевинной и DIECA. Кинетические константы  $K_M$  по отношению к  $H_2O_2$  для грибной пероксидазы близки к полученным для некоторых изоформ пероксидазы из хрена. Изоформы грибной пероксидазы проявляют большую электрофоретическую подвижность, чем изоформы пероксидазы из хрена.

### SUMMARY

The optimal conditions for chromatographic purification of peroxidase from the mycelium of the *Inonotus radiatus* fungus with the use of Biogel P-200, brushite and hydroxyapatite was elaborated. On the hydroxyapatite column a separation of peroxidase on two fractions was obtained. Fractions I and II of fungal peroxidase reveal the largest affinity in relation to pirogallol. The activity of fungal peroxidase fractions I and II is most inhibited by sodium azide, thiourea and DIECA. The kinetic constants  $K_m$  in relation to  $H_2O_2$  for fungal peroxidase are close to the values obtained for some horseradish peroxidase isozymes. Fungal peroxidase isozymes reveal a greater electrophoretic mobility than peroxidase isozymes from horseradish.

